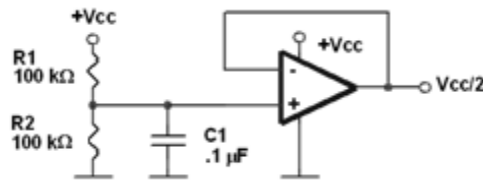


Estruturas SAB SK e MFB com Fonte Simples

A referência do circuito nos circuitos com fonte simples deve ser a metade do valor da tensão V_{CC} da fonte. Às vezes um *buffer* é necessário. A referência pode ser criada com o circuito abaixo onde R_1 e R_2 devem ter o mesmo valor e devem ser escolhidos considerando o consumo de energia e o ruído. O capacitor C_1 proporciona um PB para que o sistema seja menos sensível a variações rápidas de V_{CC}



Capacitor de Acoplamento

Este capacitor, encontrado em praticamente todos os circuitos com o nome de C_{in} , é usado para isolar o potencial de referência $V_{CC} / 2$ do resto do sistema. Caso contrário, a referência poderia ser curto-circuitada pelo circuito ou pelo dispositivo que atua como fonte de sinal.

Como o dispositivo de acoplamento é um capacitor, um PA é formado com a impedância de entrada do filtro. Dessa forma, o valor deste capacitor deve ser alto o necessário para que o PA tenha o mínimo de influência sobre as frequências de operação.

Os circuitos PA já possuem esta característica de isolamento, portanto um dos próprios capacitores do filtro será, também, o capacitor de acoplamento.

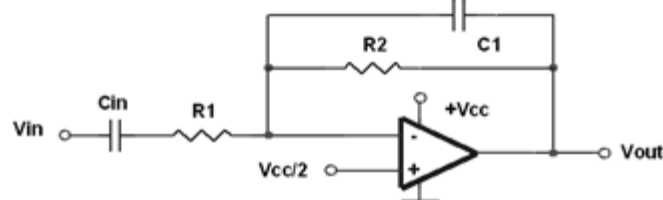
Outro fato importante, é que a tensão de referência $V_{CC} / 2$ estará presente no sinal de saída do filtro. Cabe ao projetista determinar se este referencial é necessário ou não. Se não, deve-se utilizar um capacitor de acoplamento na saída do filtro.

1. Filtros de Primeira Ordem

1.1. PB (estrutura inversora e não inversora)

1.1.1. Inversora

O circuito abaixo realiza um PB com inversão de fase.



$$V_o = V_i \left(K \frac{\sigma_s}{s + \sigma_s} \frac{s}{s + \sigma_i} \right) + \frac{V_{CC}}{2} \quad (1.1)$$

$$K = -\frac{R_2}{R_1} \quad \sigma_s = \frac{1}{R_2 C_1} \quad \sigma_i = \frac{1}{R_1 C_{in}} \quad (1.2)$$

Este circuito é um PA em cascata com um PB. A frequência de corte do PB é definida por C_1 e R_2 . O valor de C_{in} deve ser escolhido para que toda a faixa de frequência de interesse sofra a mínima influência causada pelo PA formado por ele e por R_1

$$T_{PB}(s) = A / (s + a_0) \quad (1.3)$$

$$R_1 = 1\Omega \quad R_2 = |A| / a_0 \quad C_1 = 1 / |A| \quad C_{in} \geq 100 / 2\pi f_i \quad (1.4)$$

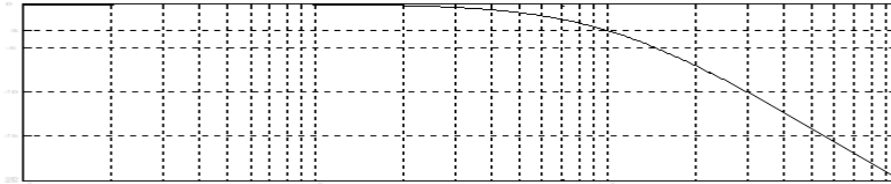
Onde f_i é a menor frequência de interesse do sinal a ser filtrado.

Exemplo 1.1.1.:

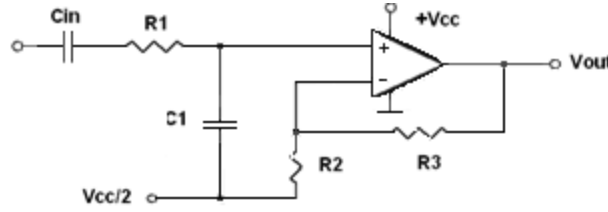
Especificações: Sinal de áudio, $f_i = 20\text{Hz}$, $f_p = 100\text{Hz}$, $K = 1$.

$$T_{PB}(s) = \frac{-628,31853}{s + 628,31853}$$

Conforme (1.4): $R_1 = R_2 = 1\Omega$ $C_1 = 1,591549 \text{ mF}$ $C_{in} \geq 795,7747 \text{ mF}$



1.1.2. Não inversora



$$V_o = V_i \left[K \frac{\sigma_s}{s + \sigma_s} \right] + \frac{V_{CC}}{2} \quad (1.5)$$

$$K = \left(1 + \frac{R_3}{R_2} \right) \left(\frac{C_{in}}{C_{in} + C_1} \right) \quad \sigma_s = \frac{1}{R_1 C_1} \left(1 + \frac{C_1}{C_{in}} \right) \quad (1.6)$$

Escolhendo $C_{in} \gg C_1$, os parâmetros do filtro sofrem pouca influência de C_{in} .

$$T_{PB}(s) = \frac{A}{s + a_0} \quad (1.7)$$

$$R_1 = R_2 = 1\Omega \quad C_1 = 1/a_0 \quad R_3 = (A/a_0) - 1 \quad C_{in} \geq 100C_1 \quad K \geq 1 \quad (1.8)$$

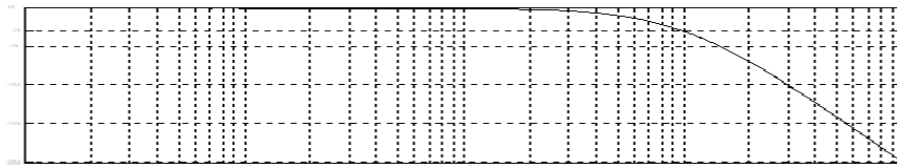
Exemplo 1.1.2.:

Especificações: $f_p = 100\text{Hz}$, $K = 1$.

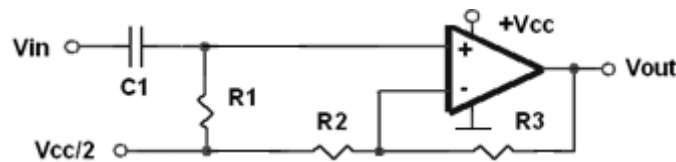
$$T_{PB}(s) = \frac{628,31853}{s + 628,31853}$$

Conforme (1.8): $R_1 = R_2 = 1\Omega$ $C_1 = 1,5815494 \text{ mF}$ $R_3 = 0\Omega$ $C_{in} \geq 158,1549 \text{ mF}$

Como $R_3 = 0$, o resistor R_2 não é necessário, portanto, $R_2 \rightarrow \infty$.



1.2. PA



$$V_o = V_i \left[K \frac{s}{s + \sigma_s} \right] + \frac{V_{CC}}{2} \quad (1.9)$$

$$K = (1 + R_3 / R_2) \quad \sigma_s = 1 / R_1 C_1 \quad (1.10)$$

$$T_{PA}(s) = \frac{Ks}{s + a_0} \quad (1.11)$$

$$R_1 = R_2 = 1\Omega \quad R_3 = K - 1 \quad C_1 = \frac{1}{a_0} \quad (1.12)$$

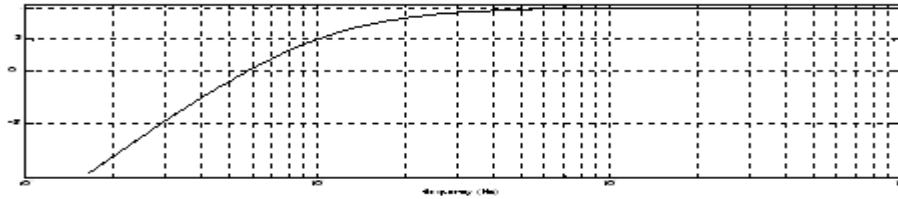
Exemplo 1.2.:

Especificações: $f_p = 100\text{Hz}$, $K = 2$.

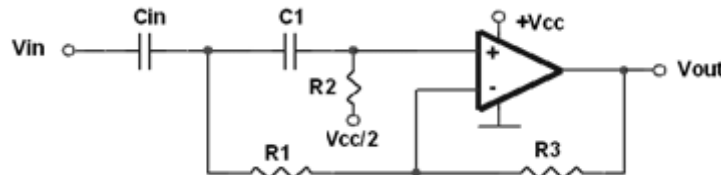
$$T_{PA}(s) = \frac{2s}{s + 628,31853}$$

Conforme (1.12): $R_1 = R_2 = 1\Omega$ $C_1 = 1,591549\text{ mF}$ $R_3 = 1\Omega$

Caso $K = 1$, então $R_3 = 0\Omega$ e R_2 não é necessário.



1.3. Passa-tudo



$$V_o = V_i \left[\frac{s - (R_3 / R_1)(1 / R_2 C_1)}{(s + 1 / R_2 C_1)(s + 1 / R_1 C_{in}) + s(G_2 - G_1) / C_{in}} s \right] + \frac{V_{CC}}{2} \quad (1.13)$$

Para $R_1 = R_2 = R_3 = R$:
$$V_o = V_i \left[\frac{s - 1 / RC_1}{s + 1 / RC_1} \frac{s}{s + 1 / RC_{in}} \right] + \frac{V_{CC}}{2} \quad (1.14)$$

$$T_{PT}(s) = \frac{s - a_0}{s + a_0} \quad (1.15)$$

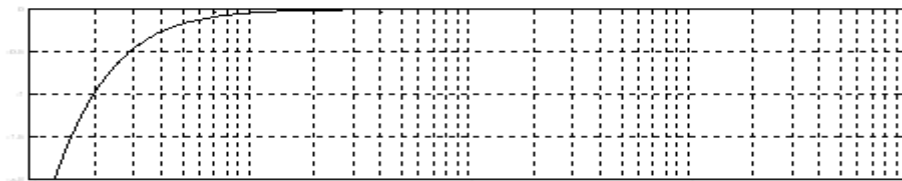
$$R = 1\Omega \quad C_1 = 1 / a_0 \quad C_{IN} \geq 100 / 2\pi f_i \quad (f_i \text{ é a menor freq. de interesse do sinal}) \quad (1.16)$$

Exemplo 1.3.:

Especificações: $f_p = 1\text{ kHz}$, $f_i = 100\text{Hz}$

$$T_{PT}(s) = \frac{s - 6283,1853}{s + 6283,1853}$$

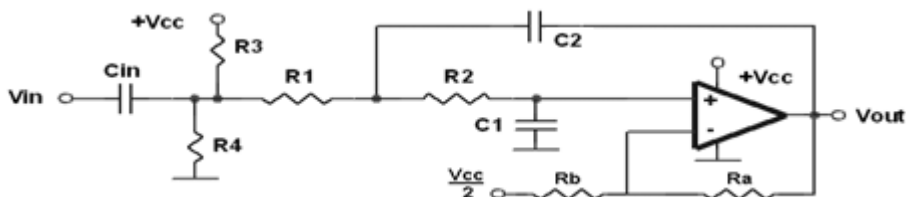
Conforme (1.16): $R = 1\Omega$ $C_1 = 159,1549\ \mu\text{F}$ $C_{in} \geq 159,1549\text{ mF}$



2. Filtros de Segunda Ordem

2.1. SK

2.1.1. PB



Os resistores R_3 e R_4 devem ser iguais e de alto valor. Usualmente, $1\text{ M}\Omega$ ou $10\text{ M}\Omega$ para que se tenha um baixo consumo de energia. Com $R_3 = R_4 = R$, encontra-se a FT:

$$V_o = V_i \frac{K(1 / C_1 C_2 R_1 R_2)}{s^2 + s \frac{(1 - K) R_1 C_2 + C_1 (R_1 + R_2)}{C_1 C_2 R_1 R_2} + \frac{1}{C_1 C_2 R_1 R_2}} \left(\frac{s}{s + (2 / C_{in} R)} \right) + \frac{V_{CC}}{2} \quad \text{onde } K = 1 + \frac{R_a}{R_b} \quad (2.1)$$

$$T_{PB}(s) = \frac{A}{s^2 + a_1s + a_0} \quad (2.2)$$

$$R_1 = R_2 = R_b = R = 1\Omega \quad C_1 = C_2 = \frac{1}{\sqrt{a_0}} \quad R_a = 2 - \frac{a_1}{\sqrt{a_0}} \quad C_{in} \geq \frac{100}{\pi f_i} \quad (2.3)$$

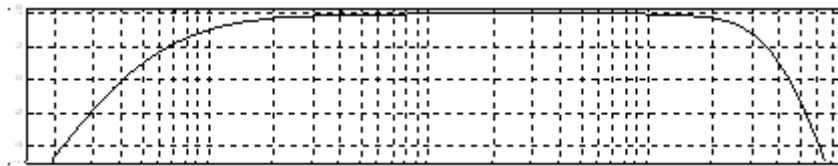
Onde f_i é a menor freq. de interesse do sinal a ser filtrado. O ganho da estrutura é $K = 3 - (1/Q)$.

Nesta estrutura, o escalamento em impedância deve ser realizado com cuidado, pois os resistores R_3 e R_4 influenciam apenas o valor do capacitor C_{in} . Ou seja, dois escalamentos podem ser realizados em separado. Um para os componentes do filtro propriamente dito, e outro para o estágio de acoplamento formado por R_3 , R_4 e C_{in} .

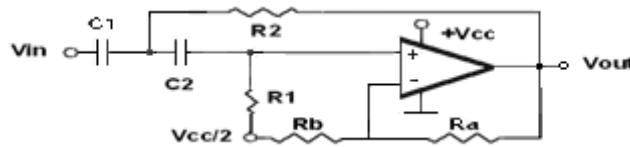
Exemplo 2.1.1.:

Especificações: $f_p = 4 \text{ kHz}$, $Q = \frac{\sqrt{2}}{2}$ e $f_i = 500 \text{ Hz}$. $T_{PB}(s) = \frac{1,0016694 \times 10^9}{s^2 + 35,543063 \times 10^3 s + 631,65468 \times 10^6}$

Conforme (2.3): $R_1 = R_2 = R_b = R = 1\Omega$ $C_1 = C_2 = 39,7887 \mu\text{F}$ $R_a = 0,58578 \Omega$ $C_{in} \geq 63,66197 \text{ mF}$



2.1.2. PA



$$V_o = V_i \frac{Ks^2}{s^2 + s \frac{(1-K)R_1C_2 + R_2(C_1 + C_2)}{C_1C_2R_1R_2} + \frac{1}{C_1C_2R_1R_2}} + \frac{V_{CC}}{2} \quad \text{onde } K = 1 + \frac{R_a}{R_b} \quad (2.4)$$

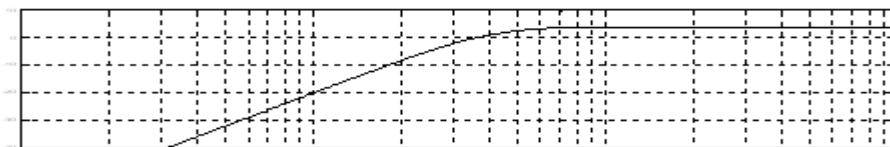
$$T_{PA}(s) = \frac{Ks^2}{s^2 + a_1s + a_0} \quad (2.5)$$

$$R_1 = R_2 = R_b = 1\Omega \quad C_1 = C_2 = 1/\sqrt{a_0} \quad R_a = 2 - (a_1/\sqrt{a_0}) \quad \text{onde } K = 3 - (1/Q) \quad (2.6).$$

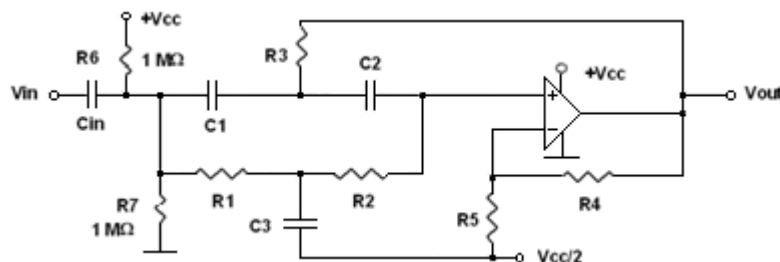
Exemplo 2.1.2.:

Especificações: $f_p = 4 \text{ kHz}$, $Q = \frac{\sqrt{2}}{2}$. $T_{PA}(s) = \frac{1,58578643s^2}{s^2 + 35,543063 \times 10^3 s + 631,65468 \times 10^6}$

Conforme (2.6): $R_1 = R_2 = R_b = 1\Omega$ $C_1 = C_2 = 39,78873 \mu\text{F}$ $R_a = 0,58578643\Omega$



2.1.3. Rejeita-faixa



P/ que esta estrutura se comporte como um RF, as seguintes relações devem ser respeitadas:

$$R_1 = R_2 = R \quad R_3 = R/2 \quad C_1 = C_2 = C \quad C_3 = 2C$$

$$V_{out} = V_{in} \frac{K(s^2 + (1/R^2C^2))}{s^2 + \frac{4-2K}{RC}s + \frac{1}{R^2C^2}} \left(\frac{s}{s + (2/C_{in}R_6)} \right) + \frac{V_{cc}}{2} \quad \text{onde } K = 1 + \frac{R_4}{R_5} \quad (2.7)$$

$$T_{RF}(s) = \frac{K(s^2 + a_0)}{s^2 + Bs + a_0} \quad (2.8)$$

$$R = R_5 = R_6 = R_7 = 1\Omega \quad C = 1/\sqrt{a_0} \quad R_4 = 1 - B/2\sqrt{a_0} \quad C_{in} \geq 100/\pi f_i \quad (2.9)$$

onde f_i é a menor freq. de interesse do sinal a ser filtrado e o ganho da estrutura é $K = 2 - (1/2Q)$.

As considerações sobre a escolha de R_6 e R_7 e sobre o escalamento destes resistores, são as mesmas apresentadas para os resistores R_3 e R_4 do PB da seção 2.1.1.

Exemplo 2.1.3.:

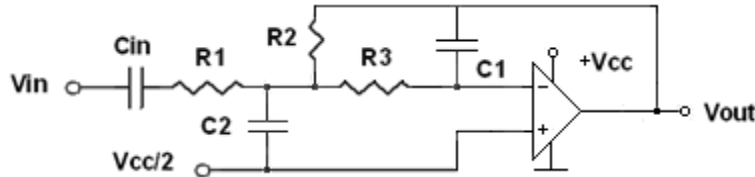
Especificações: $f_s = 60 \text{ Hz}$, $Q = 10$, $f_i = 1 \text{ Hz}$. $T_{RF}(s) = \frac{1,95(s^2 + 142,12230 \times 10^3)}{s^2 + 37,699112s + 142,1223 \times 10^3}$

Conforme (2.9): $R = R_5 = R_6 = R_7 = 1\Omega$ $C = 2,65258 \text{ mF}$ $R_4 = 0,95\Omega$ $C_{in} \geq 31,83099 \text{ F}$



2.2. MFB

2.2.1. PB



$$V_O = V_I \frac{\frac{R_2}{R_1} \frac{1}{C_1 C_2 R_2 R_3} \frac{s}{s + 1/C_{in} R_1}}{s^2 + s \frac{1}{C_2} \left(\frac{1}{R_1} \frac{s}{s + (1/C_{in} R_1)} + \frac{1}{R_2} + \frac{1}{R_3} \right) + \frac{1}{C_1 C_2 R_2 R_3}} + \frac{V_{CC}}{2} \quad (2.10)$$

O capacitor C_{in} , juntamente com R_1 , influencia de duas maneiras: forma um PA e torna o valor de Q dependente da frequência, pois modifica o valor de R_1 visto pelos outros componentes do filtro. Entretanto, à medida que a frequência aumenta as duas influências diminuem e serão insignificantes. Dessa forma, como já utilizado em outras estruturas, o valor de C_{in} será escolhido de acordo com a menor frequência de interesse do sinal a ser filtrado.

$$T_{PB}(s) = \frac{A}{s^2 + a_1 s + a_0} \quad (2.11)$$

$$R_1 = R_3 = 1\Omega \quad R_2 = \frac{|A|}{a_0} \quad C_2 = \frac{2}{a_1} + \frac{a_0}{a_1 |A|} \quad C_1 = \frac{1}{C_2 |A|} \quad C_{in} \geq \frac{100}{2\pi f_i} \quad (2.12)$$

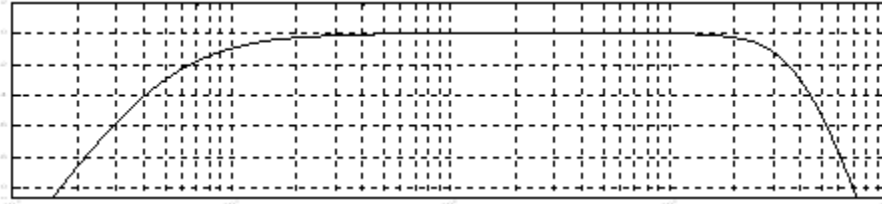
Onde f_i é a menor frequência de interesse do sinal a ser filtrado.

Exemplo 2.2.1.:

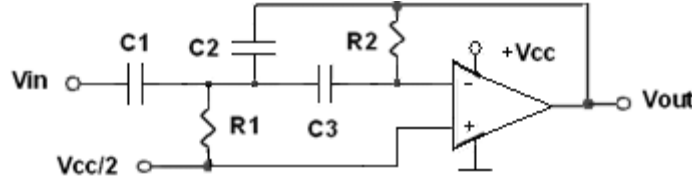
Espec.: $f_p = 4 \text{ kHz}$, $Q = \frac{\sqrt{2}}{2}$, $K = 1$ e $f_i = 500 \text{ Hz}$ $T_{PB}(s) = \frac{631,65468 \times 10^6}{s^2 + 35,543063 \times 10^3 s + 631,65468 \times 10^6}$

Conforme (2.12):

$$R_1 = R_3 = 1\Omega \quad R_2 = 1\Omega \quad C_2 = 84,404654\mu F \quad C_1 = 18,756589\mu F \quad C_{in} \geq 31,830988mF$$



2.2.2. PA



Função da rede:

$$V_o = V_i \frac{-(C_1/C_2)s^2}{s^2 + s \frac{C_1 + C_2 + C_3}{C_2 C_3 R_2} + \frac{1}{C_2 C_3 R_1 R_2}} + \frac{V_{cc}}{2} \quad (2.13)$$

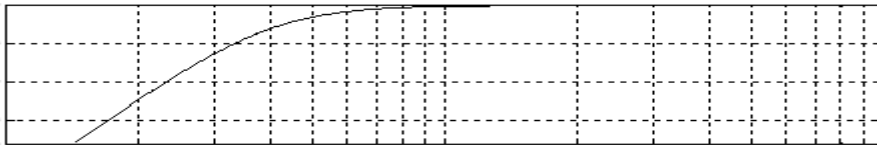
$$T_{PA}(s) = \frac{Ks^2}{s^2 + a_1s + a_0} \quad (2.14)$$

$$R_1 = \frac{a_1 / \sqrt{a_0}}{2 + (1/|K|)} \quad R_2 = \frac{\sqrt{a_0}}{a_1} (2|K| + 1) \quad C_1 = C_3 = \frac{1}{\sqrt{a_0}} \quad C_4 = \frac{1}{|K|\sqrt{a_0}} \quad (2.15)$$

Exemplo 2.2.2.:

Especif: $f_p = 4kHz$, $Q = \frac{\sqrt{2}}{2}$ e $K = 1$ $T_{PA}(s) = \frac{s^2}{s^2 + 35,543063 \times 10^3 s + 631,65468 \times 10^6}$

Conforme (2.15): $R_1 = 0,47140452\Omega$ $R_2 = 2,1213203\Omega$ $C_1 = C_3 = C_2 = 39,7887 \mu F$



Considerações Finais

Todas as simulações (SG2) comprovaram a validade das equações mostradas. Os filtros PF implementados por estruturas SK e RC-∞ não são recomendados por causa de problemas de espalhamento de componentes, algoritmos complexos e outros problemas. [1]. Na implementação de qualquer uma das estruturas que contenham capacitor de acoplamento, é de vital importância que o valor do capacitor de acoplamento C_{in} seja significativamente maior que os capacitores do filtro após os escalamentos das impedâncias.

Referência

[1] SLOA096 – *More Filter Design on a Budget* – Documento da Texas Instruments

Conclusões Suplementares:

Para filtros PF de baixo Q, $Q < 0,5$, recomenda-se o uso de uma cascata de um passa alta com um passa baixa. Para $Q > 0,5$, as duas estruturas interagem e há uma redução no ganho da frequência central do passa faixa [1]. Para filtros PB de ordem 2, recomenda-se o uso de estruturas MFB, pois há uma liberdade maior para escolha de ganho. Nas estruturas SK o ganho é amarrado ao Q desejado. Para o cálculo dos capacitores C_{in} das estruturas PB e RF, foi realizado introduzindo o conceito de menor frequência de interesse do sinal desejado. Seu valor é escolhido de modo que toda faixa desejada do sinal passe pela estrutura sofrendo as menores atenuações possíveis.